

$|\vec{M}| = j_s$   
 $\vec{j}'_s = \vec{M} \times \vec{e}_n$

结论：磁化强度在数值上等于磁化电流面密度，它们之间的关系由右手螺旋法则确定。

$\oint_L \vec{M} \cdot d\vec{l} = \int_a^b + \int_b^c + \int_c^d + \int_d^a$   
 $\int_b^c \vec{M} \cdot d\vec{l} = \int_d^a \vec{M} \cdot d\vec{l} = 0 \quad \int_c^d \vec{M} \cdot d\vec{l} = 0$   
 $\oint_L \vec{M} \cdot d\vec{l} = \int_a^b \vec{M} \cdot d\vec{l} = M \overline{ab} = j_s \overline{ab}$

2017/4/27 24

$\oint_L \vec{M} \cdot d\vec{l} = \sum_L i'$

物理意义：磁化强度沿任一回路的环流，等于穿过此回路的束缚电流  $i'$  的代数和。 $i'$  与  $L$  环绕方向成右旋者为正，反之为负。

与电介质中对比的公式

$\oint_S \vec{P} \cdot d\vec{S} = -\sum_S q'$

电极化强度 束缚电荷

2017/4/27 25

9.6.4 有磁介质时磁场的规律

真空中的规律

$$\begin{cases} \oint_L \vec{B} \cdot d\vec{l} = \mu_0 \sum I_{\text{内}} & (1) \\ \oint_S \vec{B} \cdot d\vec{S} = 0 & (2) \end{cases}$$

考虑到磁化电流，(1) 式则需要修改。

一.  $\vec{H}$  的环路定理

设：  $I_0$  — 传导电流，  $I'$  — 磁化电流

$\oint_L \vec{B} \cdot d\vec{l} = \mu_0 \sum (I_{0\text{内}} + I'_{\text{内}})$   
 $= \mu_0 \sum I_{0\text{内}} + \mu_0 \oint_L \vec{M} \cdot d\vec{l}$

2017/4/27 26

$\oint_L \left( \frac{\vec{B}}{\mu_0} - \vec{M} \right) \cdot d\vec{l} = \sum I_{0\text{内}}$

令  $\vec{H} = \frac{\vec{B}}{\mu_0} - \vec{M}$  — 磁场强度 (magnetic field intensity)

得：  $\oint_L \vec{H} \cdot d\vec{l} = \sum I_{0\text{内}}$  —  $\vec{H}$  的环路定理

▲  $H$  的单位：A/m (SI)；  
 奥斯特 Oe (CGSM)，  $1\text{Oe} = \frac{10^3}{4\pi} \text{A/m}$ 。

▲ 真空：  $\vec{M} = 0$ ，  $\vec{H} = \frac{\vec{B}}{\mu_0}$

2017/4/27 27

▲ 各向同性磁介质：

$\vec{M} \propto \vec{H} \rightarrow \vec{M} = (\mu_r - 1) \vec{H} = \chi_m \vec{H}$

$\chi_m$  — 磁化率 (magnetic susceptibility)

$\chi_m = \mu_r - 1$   
 $\vec{H} = \frac{\vec{B}}{\mu_0} - \vec{M} = \frac{\vec{B}}{\mu_0} - \chi_m \vec{H}$   
 $\rightarrow \vec{B} = \mu_0 (\chi_m + 1) \vec{H} = \mu_0 \mu_r \vec{H}$

令  $\mu = \mu_0 \mu_r$  — 磁导率 (permeability)

则有  $\vec{B} = \mu \vec{H}$  真空：  $\mu = \mu_0$

2017/4/27 28

二. 环路定理的应用举例

【例1】证明在各向同性均匀磁介质内，无传导电流处，也无磁化电流。

证：介质中闭合回路  $L$  所套联的分子电流为：

$I' = \oint_L \vec{M} \cdot d\vec{l} = \oint_L \chi_m \vec{H} \cdot d\vec{l}$   
 $= \chi_m \oint_L \vec{H} \cdot d\vec{l} = \chi_m \cdot \sum I_0$   
 若  $\sum I_0 = 0$ ，则  $I' = 0$   
 $L$  可任取，且可无限缩小，  
 故  $I_0 = 0$  处，  $I' = 0$ 。

2017/4/27 29

**例2:** 长直螺旋管内充满均匀磁介质 ( $\mu_r$ )，设励磁电流  $I_0$ ，单位长度上的匝数为  $n$ 。求管内的磁感应强度和磁介质表面的面束缚电流密度。

**解:** 因管外磁场为零，取如图所示安培回路  $\oint_L \vec{H} \cdot d\vec{l} = \sum I$

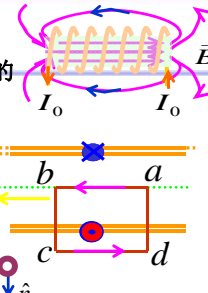
$\therefore IH = nI_0 \quad \therefore H = nI_0$

$\therefore B = \mu_0 \mu_r H = \mu_0 \mu_r nI_0$

$\therefore \vec{H} = \frac{\vec{B}}{\mu_0} - \vec{M} \quad \therefore \vec{M} = (\mu_r - 1)nI_0 \hat{n}$  顺磁质  $\mu_r > 1, j' > 0$

$\therefore \vec{j}' = \vec{M} \times \hat{n} \quad \therefore j' = (\mu_r - 1)nI_0$  抗磁质  $\mu_r < 1, j' < 0$

束缚电流与传导电流反向



**例3:** 长直单芯电缆的芯是一根半径为  $R$  的金属导体，它与外壁之间充满均匀磁介质，电流从芯流过再沿外壁流回。求介质中磁场分布及与导体相邻的介质表面的束缚电流。

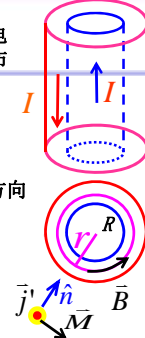
$\therefore \oint_L \vec{H} \cdot d\vec{l} = \sum I \quad \therefore H = \frac{I}{2\pi r}$

$\therefore B = \mu_0 \mu_r H = \mu_0 \mu_r \frac{I}{2\pi r}$  方向沿圆的切线方向

$\therefore \vec{H} = \frac{\vec{B}}{\mu_0} - \vec{M} \quad \therefore \vec{j}' = \vec{M} \times \hat{n}$

$\therefore j' = (\mu_r - 1) \frac{I}{2\pi R}$  方向与轴平行

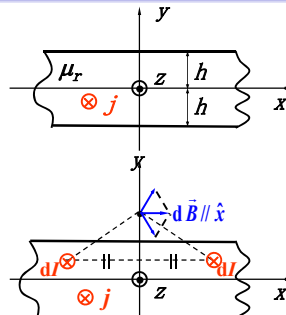
磁介质内表面的总束缚电流  $\therefore I' = 2\pi R j' = (\mu_r - 1)I$



**[例4]** 如图示，已知均匀载流无限大厚平板电流密度为  $j$  (沿  $z$ )，导体相对磁导率为  $\mu_r$ ，求:  $\vec{B}$  和  $\vec{j}'_S$

**解:** 分析  $\vec{B}$  的对称性，有  $\vec{B} = \vec{B}(y)$

且  $\begin{cases} y > 0: \vec{B} = B(y)\hat{x} \\ y < 0: \vec{B} = -B(y)\hat{x} \end{cases}$



**板外:** 对图示矩形回路  $L$ ，有  $\oint_L \vec{H} \cdot d\vec{l} = j \cdot (\Delta l \cdot 2h)$

$2H_{\text{外}} \cdot \Delta l = 2jh \cdot \Delta l$

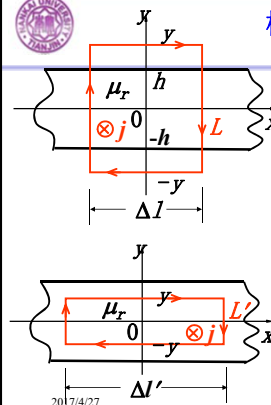
$H_{\text{外}} = jh \rightarrow \vec{H}_{\text{外}} = jh \frac{y}{|y|} \hat{x}$

$\vec{B}_{\text{外}} = \mu_0 \vec{H}_{\text{外}} = \mu_0 jh \frac{y}{|y|} \hat{x}$

**板内:** 对图示矩形回路  $L'$ ，有  $\oint_{L'} \vec{H}_{\text{内}} \cdot d\vec{l} = j \cdot (\Delta l' \cdot 2y)$

$2H_{\text{内}} \cdot \Delta l' = 2jy \cdot \Delta l'$

$\vec{B}_{\text{内}} = \mu_0 \mu_r \vec{H}_{\text{内}} = \mu_0 \mu_r jy \hat{x}$



**求磁化面电流密度**

$\vec{j}'_S = \vec{M}_S \times \vec{e}_n$

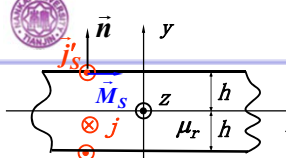
$\vec{M}_S = \chi_m \vec{H}_{\text{内}S} = (\mu_r - 1) \vec{H}_{\text{内}S}$

**上表面:**  $\vec{e}_n = \hat{y}, \vec{M}_S = (\mu_r - 1)(jh\hat{x})$

$\vec{j}'_S = (\mu_r - 1)jh\hat{z} = -(\mu_r - 1)h \cdot \vec{j}$

**下表面:**  $\vec{e}_n = -\hat{y}, \vec{M}_S = (\mu_r - 1)(-jh\hat{x})$

$\vec{j}'_S = -(\mu_r - 1)h \cdot \vec{j}$  (同上表面)



**磁介质中的安培环路定理**  $\oint_L \vec{B} \cdot d\vec{l} = \mu_0 \sum I + \mu_0 \sum I'$

$\oint_L \vec{B} \cdot d\vec{l} = \mu_0 \sum I + \mu_0 \oint_L \vec{M} \cdot d\vec{l}$

$\oint_L (\frac{\vec{B}}{\mu_0} - \vec{M}) \cdot d\vec{l} = \sum I$

$\vec{H} \stackrel{\text{def}}{=} \frac{\vec{B}}{\mu_0} - \vec{M}$

$\oint_L \vec{H} \cdot d\vec{l} = \sum I$

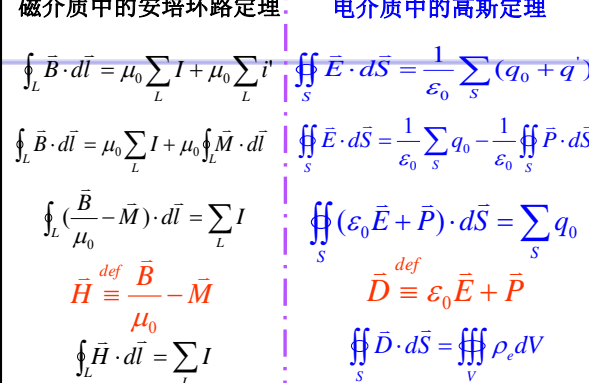
**电介质中的高斯定理**  $\oiint_S \vec{E} \cdot d\vec{S} = \frac{1}{\epsilon_0} \sum (q_0 + q')$

$\oiint_S \vec{E} \cdot d\vec{S} = \frac{1}{\epsilon_0} \sum q_0 - \frac{1}{\epsilon_0} \oiint_S \vec{P} \cdot d\vec{S}$

$\oiint_S (\epsilon_0 \vec{E} + \vec{P}) \cdot d\vec{S} = \sum q_0$

$\vec{D} \stackrel{\text{def}}{=} \epsilon_0 \vec{E} + \vec{P}$

$\oiint_S \vec{D} \cdot d\vec{S} = \iiint_V \rho_c dV$



•  $\vec{B}, \vec{H}, \vec{M}$  之间的关系

$\vec{M} = \chi_m \vec{H}$

$\vec{H} \stackrel{\text{def}}{=} \frac{\vec{B}}{\mu_0} - \vec{M}$

$\vec{B} = \mu_0(1 + \chi_m)\vec{H}$

$\mu_r = (1 + \chi_m)$

$\vec{B} = \mu_0 \mu_r \vec{H} = \mu \vec{H}$

$\mu_r$  称为相对磁导率

$\mu = \mu_0 \mu_r$  磁导率

•  $\vec{P}, \vec{D}, \vec{E}$  之间的关系:

$\vec{P} = \chi_e \epsilon_0 \vec{E}$

$\vec{D} \stackrel{\text{def}}{=} \epsilon_0 \vec{E} + \vec{P}$

$\vec{D} = (1 + \chi_e) \epsilon_0 \vec{E}$

$\epsilon_r = (1 + \chi_e)$

$\vec{D} = \epsilon_r \epsilon_0 \vec{E} = \epsilon \vec{E}$

$\epsilon_r$  称为相对电容率或相对介电常量。

实验规律

量纲

电磁场的本构方程

描述真空中电磁场和介质中电磁场的关系式

2017/4/27

36

三. 磁场的界面关系 静磁屏蔽

由  $\oint_S \vec{B} \cdot d\vec{s} = 0$  可得  $B_{1n} = B_{2n}$  (1)

设界面无传导电流, 由  $\oint_L \vec{H} \cdot d\vec{l} = 0$  可得  $H_{1t} = H_{2t}$  (2)

即  $\frac{B_{1t}}{\mu_1} = \frac{B_{2t}}{\mu_2}$  (2)'

2017/4/27

1

(2)':  $\frac{1}{\mu_1} \tan \theta_1 = \frac{1}{\mu_2} \tan \theta_2$

若  $\mu_1 > \mu_2$ , 则  $\theta_1 > \theta_2$ ,

当  $\mu_1 \gg \mu_2$  时,

$\tan \theta_1 = \frac{\mu_1}{\mu_2} \tan \theta_2 \gg 1, \theta_2 \neq 0, \theta_1 \approx \frac{\pi}{2}$ .

在  $\mu_1$  很大的介质1中,  $\vec{B}$  线几乎平行界面, 这就是铁磁质中  $\vec{B}$  线沿铁芯延续的情形。

2017/4/27

38

▲ 静磁屏蔽

计算表明: 屏蔽系数

$B_{sh} = \frac{4R_2^2}{\mu_r(R_2^2 - R_1^2)} B_0 = k B_0$

$k = \frac{4R_2^2}{\mu_r(R_2^2 - R_1^2)} \approx \frac{2R}{\mu_r t}$

$t = (R_2 - R_1) \ll R_2$

若  $\begin{cases} \mu_r = 4000 \\ R_2 = 10\text{cm} \end{cases}$  则  $\begin{cases} t = 0.1\text{cm} \text{ 时, } k = 5\% \\ t = 1\text{cm} \text{ 时 } k = 0.5\% \end{cases}$

精密探头、显象管...都需要磁屏蔽。

2017/4/27

39

\*9.6.5 铁磁质 (ferromagnetic substance)

一. 磁畴 (magnetic domain)

铁磁质中起主要作用的是电子的自旋磁矩。各电子的自旋磁矩靠交换耦合作用使方向一致, 从而形成自发的均匀磁化小区域 — 磁畴。

2017/4/27

1

40

各种材料磁畴线度相差较大: 从  $10^{-3}\text{m}$  到  $10^{-6}\text{m}$ , 一般为  $10^{-4} \sim 10^{-5}\text{m}$ , 磁畴体积约为  $10^{-6}(\text{mm})^3$ , 一个磁畴中约有  $10^{12} \sim 10^{15}$  个原子。

磁畴磁矩沿某个易磁化方向 (direction of easy magnetization) 排列。易磁化方向由晶体结构决定。

所有的磁畴为什么不形成一个磁化整体呢?

矛盾因素协调平衡, 才使铁磁体整体能量最低。

2017/4/27

1

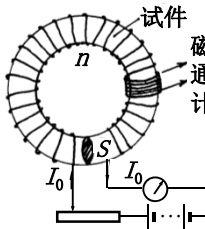
41



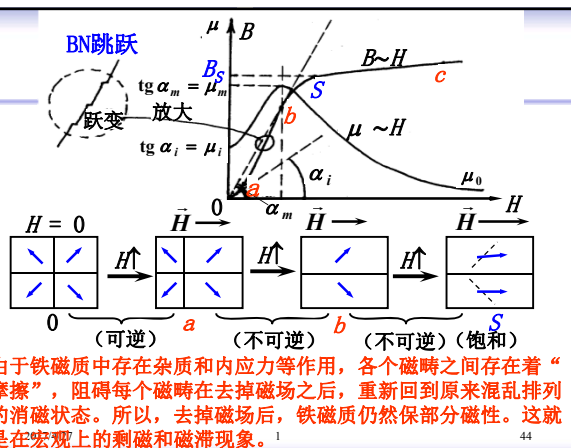
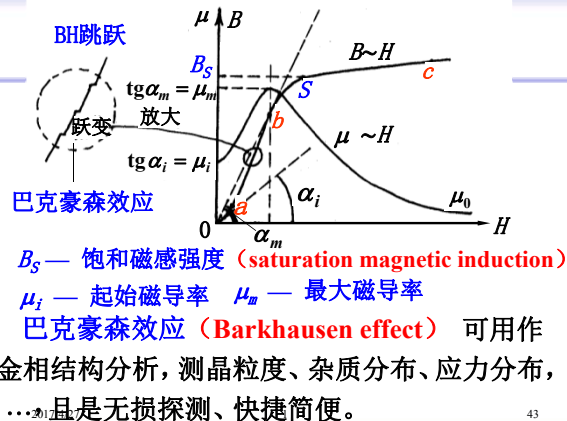
## 二．铁磁质的磁化规律

铁磁质  $\vec{B} \sim \vec{H}$  关系非线性，也不单值，  
形式上表示为  $\vec{B} = \mu \vec{H}$ ， $\mu \neq \text{Const.}$  也不唯一。

### 1. 起始磁化曲线

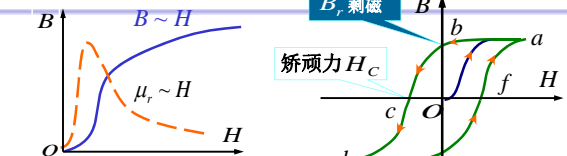


测  $\Phi \rightarrow B = \frac{\Phi}{S}$   
测  $I_0 \rightarrow H = nI_0$   
( $\because \oint \vec{H} \cdot d\vec{l} = H \cdot L = NI_0$ ,  
 $\therefore H = \frac{N}{L} \cdot I_0 = nI_0$ )  
由此可得到  $B \sim H$  曲线:



## 二、宏观磁化现象 —— 磁滞回线

铁磁质中  $B \leftrightarrow H$  不是线性关系



### 讨论

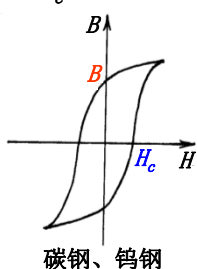
- (1) 实验证明: 各种铁磁质的磁化曲线都是“不可逆”的, 具有磁滞现象
- (2) 不同材料, 矫顽力  $H_c$  不同
- (3) “磁滞损耗”正比于  $B \sim H$  回线所围的面积。



## 三．硬磁和软磁材料

### 1. 硬磁材料 (hard magnetic material)

$H_c$  大 ( $> 10^2 \text{ A/m}$ ), 一般  $H_c$  为  $10^4 \sim 10^6 \text{ A/m}$ ,



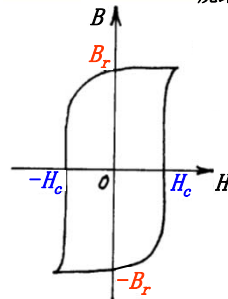
$B_r$  也大, 一般为  $10^3 \sim 10^4 \text{ G}$ 。

特点: 磁滞回线“胖”,  
磁滞损耗大,  
适合制作永久磁铁、  
磁芯 (记忆元件) 等。



### “矩磁材料”

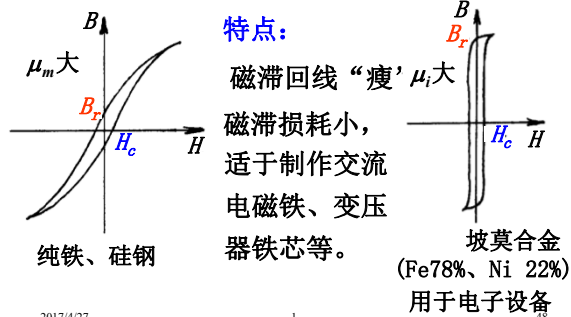
金属氧化物:  $\text{Fe}_2\text{O}_3$  和其他二价的金属氧化物 (如  $\text{NiO}$ ,  $\text{ZnO}$  等粉末混合烧结而成)。





## 2. 软磁材料 (soft magnetic material)

$H_c$ 小 ( $<10^2 \text{ A/m}$ ), 一般约  $H_c$  为  $1 \text{ A/m}$ 。



2017/4/27

1

48



## 四. 居里点 (Curie point)

$T \uparrow \rightarrow \vec{M}_{\text{磁畴}} \downarrow$  (自发磁化减弱)

$T \geq T_c \rightarrow \vec{M}_{\text{磁畴}} = 0$  (磁畴瓦解, 表现顺磁性)

$T_c$ 是失去铁磁性的临界温度, 称“居里点”。

当  $T < T_c$  时, 又恢复铁磁性。

Fe :  $T_c = 767^\circ\text{C}$

Ni :  $T_c = 357^\circ\text{C}$

Co :  $T_c = 1117^\circ\text{C}$

利用铁磁质具有居里温度的特点, 可将其制作温控元件, 如电饭锅自动控温。

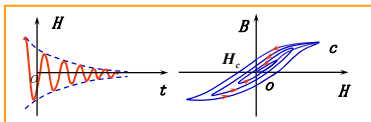
2017/4/27

1

49

## 退磁方法

### 1. 加交变衰减的磁场



使介质中的磁场逐渐衰减为 0, 应用在录音机中的交流抹音磁头中。

2. 升高温度, 达到居里温度以上。

3. 敲击法: 通过振动提供使磁畴瓦解的能量。

4. 加反向磁场: 提供矫顽力。

2017/4/27

1

50



## 五. 磁致伸缩

$\vec{B}$  变  $\rightarrow \vec{M}_{\text{磁畴}}$  方向改变  $\rightarrow$  晶格间距改变

$\rightarrow$  铁磁体长度和体积改变 — 磁致伸缩。

长度相对改变约  $10^{-5}$  量级, 某些材料在低温下可达  $10^{-1}$ ;

磁致伸缩有一定固有频率, 当外磁场变化频率和固有频率一致时, 发生共振, 可用于制作激振器、超声波发生器等。

2017/4/27

1

51



## 作业

P435 9.35, 9.37

2017/4/27

1

52